

EFFECTUL ZEEMAN NORMAL

1) Obiectivele lucrarii

- Observarea unui triplet de linii în cazul efectului Zeeman normal în configurație transversală.
- Determinarea stării de polarizare a componentelor tripletului.
- Observarea unui dublet de linii în cazul efectului Zeeman normal în configurație longitudinală.
- Determinarea stării de polarizare a componentelor tripletului.

2) Principiile experientei

Prin efect Zeeman se intlege despicarea nivelelor de energie și, în consecință, a liniilor spectrale sub acțiunea unui camp magnetic extern. Efectul a fost prezis de *H. A. Lorenz* în 1895 ca o parte a teoriei sale clasice a electronului și confirmat experimental, câtiva ani mai tarziu, de către *P. Zeeman*. Zeeman a observat un triplet de linii, în locul unei singure linii, atunci cand observarea radiatiei emise se facea perpendicular pe directia campului magnetic și un dublet de linii în cazul observării paralele. Mai tarziu, s-au observat despiciari mai complexe ale liniilor spectrale care au primit numele de efect Zeeman anomal. Pentru a explica acest fenomen, în 1925 *Goudsmit* și *Uhlenbeck* au emis ipoteza spinului electronului. În cele din urmă, a devenit evident că efectul Zeeman anomal este regulă, iar efectul Zeeman “normal” este excepția.

Efectul Zeeman normal apare doar atunci cand au loc tranzitii între stările unui atom cu spinul total $S = 0$. Atunci, momentul cinetic total $\vec{J} = \vec{L} + \vec{S}$ devine un moment cinetic orbital pur ($\vec{J} = \vec{L}$). Momentul magnetic corespunzător va fi

$$\vec{\mu} = -\frac{\mu_B}{\hbar} \vec{J} \quad (1)$$

unde

$$\mu_B = \frac{\hbar e}{2m_e} \quad (2)$$

(μ_B =magnetonul Bohr, m_e =masa electronului, e =sarcina elementara, $\hbar = \frac{h}{2\pi}$, h =constanta lui Planck).

Intr-un camp magnetic atomul capata o energie suplimentara

$$E = -\vec{\mu} \cdot \vec{B} \quad (3)$$

Componenta momentului kinetic pe directia campului magnetic poate avea una din valorile

$$J_z = M_J \cdot \hbar \text{ cu } M_J = J, J-1, \dots, -J \quad (4)$$

In consecinta, termenul energetic caracterizat de o valuare a lui J se despica in $2J+1$ componente Zeeman echidistante ce difera intre ele prin valoarea lui M_J . Intervalul energetic intre componentele adiacente M_J, M_{J+1} este

$$\Delta E = \mu_B \cdot B \quad (5)$$

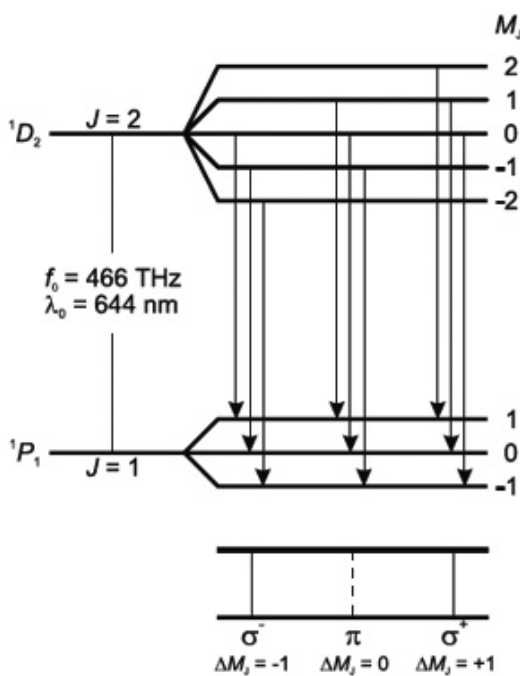


Fig.1 Efectul Zeeman Normal pentru cadmiu; despicarea nivelelor si tranzitiile permise

Se poate vedea acest efect Zeeman normal in cazul liniei rosii a cadmiului ($\lambda_0 = 643,8 \text{ nm}, \nu_0 = 465,7 \text{ THz}$). Ea corespunde tranzitiei $^1D_2 (J=2, S=0, L=2) \rightarrow ^1P_1 (J=1, S=0, L=0)$ unui electron din patura a cincea (vezi Fig.1). In camp magnetic nivelul 1D_2 se despica in cinci componente Zeeman, iar nivelul 1P_1 se despica in trei componente

Zeeman, avand distanta energetica precizata de formula (5).

Tranzitiile optice intre aceste nivele sunt posibile numai sub forma radiatiei dipolar electrice. In acest caz, intre numerele cuantice magnetice M_J ale starilor implicate se folosesc urmatoarele reguli de selectie:

$$\Delta M_J \quad \begin{cases} = \pm 1 & \text{pentru componente} \sigma \\ = 0 & \text{pentru componente} \pi \end{cases} \quad (6)$$

Se observa astfel un numar de trei linii spectrale (Fig.1); componenta π nu este deplasata iar cele doua componente σ sunt deplasate cu

$$\Delta\nu = \pm \frac{\Delta E}{h} \quad (7)$$

in raport cu frecventa originara. In aceasta relatie, ΔE este desplicarea energetica (echidistanta) calculata in (5).

3) Distributia unghiulara si polarizarea

Fotonul emis are o anumita distributie unghiulara ce depinde de componenta ΔM_J a momentului kinetic pe directia campului magnetic. Aceasta distributie unghiulara este prezentata in Fig.2 sub forma unor diagrame polare. Ea poate fi observata si experimental, intrucat campul magnetic induce aceeasi axa de cuantificare pentru toti atomii de cadmiu.

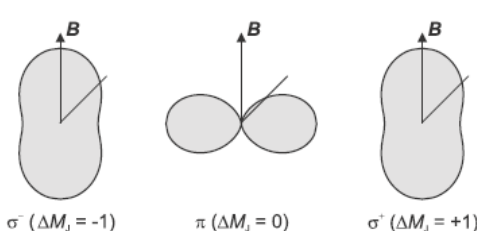


Fig.2 Distributia unghiulara a radiatiei dipolar electrice (ΔM_J ; componentele momentului kinetic al fotonilor emisi pe directia campului magnetic)

In termenii fizicii clasice, cazul $\Delta M_J = 0$ corespunde unui dipol oscilant infinitesimal paralel cu campul magnetic. Nici o cuanta nu este emisa in directia campului

magnetic, cu alte cuvinte componenta π nu se poate observa pe o directie paralela cu campul magnetic. Lumina emisa perpendicular pe directia campului magnetic este liniar polarizata deoarece

vectorul \vec{E} oscileaza pe directia dipolului si deci, paralel cu campul magnetic (Fig.3).

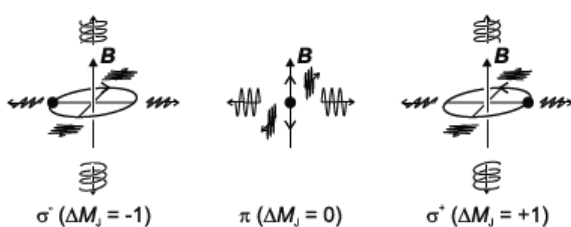


Fig.3 Reprezentarea schematica a polarizarii componentelor Zeeman (ΔM ; componentele momentului cinetic al fotonilor emisi pe directia campului magnetic)

Pe de alta parte, in cazul $\Delta M_J = \pm 1$ cele mai multe cuante sunt emise in directia campului magnetic. In termeni clasici, acest caz corespunde unor doi dipoli perpendiculari ce oscileaza cu o diferență de fază de 90° .

Suprapunerea celor doi dipoli produce un curent pe o bucla circulara. Se emite astfel pe directia campului magnetic lumina circular polarizata; in sensul pozitiv al directiei campului ea este polarizata in sens orar pentru $\Delta M_J = +1$ si anti-orar pentru $\Delta M_J = -1$ (vezi Fig.3).

4) Spectroscopia componentelor Zeeman

Efectul Zeeman permite separarea spectroscopică a componentelor cu diferite polarizări. Totuși, pentru a observa despărțirea avem nevoie de un dispozitiv spectral cu o rezoluție foarte mare, întrucât cele două componente σ ale liniei roșii a cadmiului sunt despicate, într-un camp magnetic de inducție $B=1\text{ T}$,

cu numai $\Delta\nu = 14\text{ GHz}$, respectiv $\Delta\lambda = 0,02\text{ nm}$.

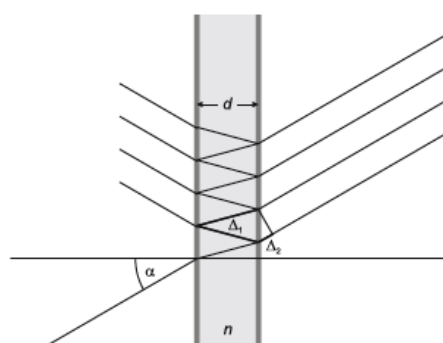


Fig.4 Etalonul Fabry-Perot ca spectrometru interferential. În desen este prezentat drumul unei raze ce face unghiul $\alpha > 0$ cu axa optică. Diferența de drum optic între două raze emergente adiacente este $\Delta = n \Delta_1 - \Delta_2$

In aceasta lucrare se utilizeaza un etalon Fabry-Perot. El este o lama de sticla cu planele perfect paralele (eroarea de planeitate fiind mult mai mica decat lungimea de unda a radiatiei folosite) si acoperite cu un strat de aluminiu (partial

reflectorizant). Lumina usor divergentă ce intra în etalon – orientată perpendicular pe axa optică – este reflectată înainte și înapoi de multe ori, în timp ce o parte din eaiese din etalon (Fig.4). Datorită stratului de aluminiu aceasta rază emergentă are o intensitate mică, adică vor exista foarte multe raze emergente care vor interfera. După etalon se află o lentilă convergentă care strânge razele emergente în planul sau focal. Cu ajutorul unui ochelar se vor observa figuri de interferență sub formă unor cercuri pentru o lungime de undă particulară, λ . Apertura unghiulară a unui astfel de cerc este egală cu unghiul de emergență α a razelor care ieșă din etalonul Fabry-Perot. Razele care ieșă la un unghi de emergență α_k interfeirează construcțiv atunci când două raze adiacente indeplinesc condiția “curbelor de egala inclinare” (Fig.4):

$$\Delta = 2d \cdot \sqrt{n^2 - \sin^2 \alpha_k} = k \lambda \quad (7)$$

(Δ = diferența de drum optic; d = grosimea etalonului; n = indicele de refracție al sticlei; k = ordinul de interferență).

O modificare a lungimii de undă cu $\delta\lambda$ este tradusă într-o modificare a unghiului de apertura cu $\delta\alpha$. Depinzând de lungimea focală a lentilei, unghiul de apertura α corespunde unei raze r , iar variația unghiului $\delta\lambda$ corespunde unei variații δr . Dacă o linie spectrală este compusă din diferite componente care variază cu $\delta\lambda$ fiecare franjă circulară de interferență este despărțită în tot atatea cercuri care diferează între razele lor cu un δr . Astfel, o linie dublet va prezenta o structură de dublet a frângei circulare, iar o linie triplet va prezenta o structură circulară de triplet.

5) Dispozitivul experimental

În Fig.5 este prezentat dispozitivul experimental complet în configurația transversală.

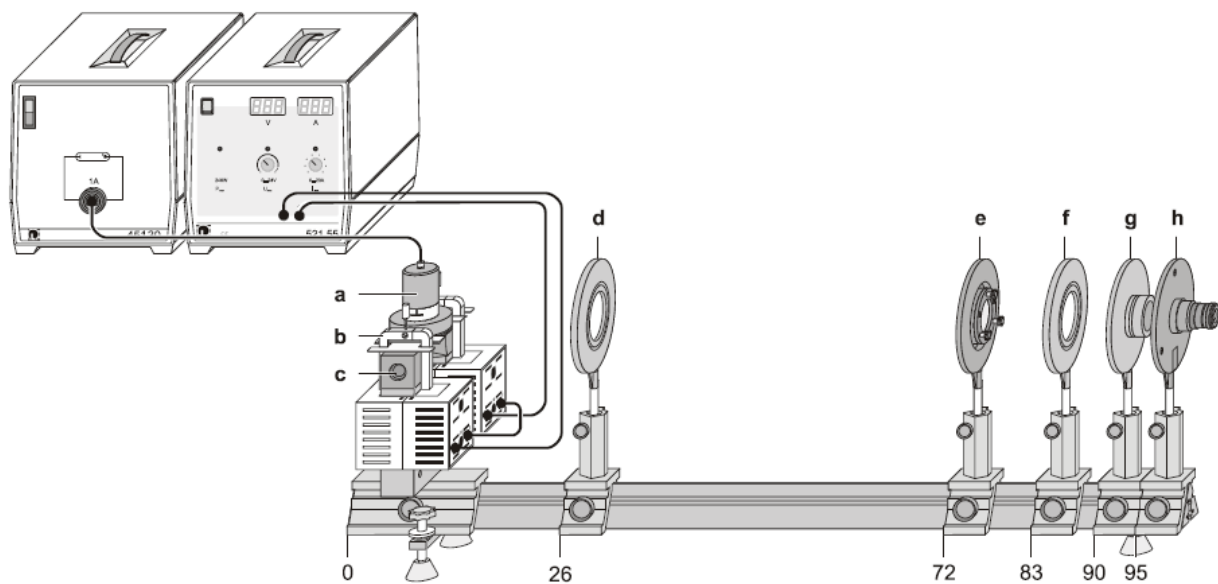


Fig.5 Dispozitivul experimental pentru observarea efectului Zeeman in configuratie transversala. Positia marginii din stanga a calaretului optic este data in cm.

- a** Lampa de cadmiu cu baza de sustinere
- b** Cleme
- c** Piese polare
- d** Lentila pozitiva (condensoare); $f=150\text{ cm}$
- e** Etalon Fabry-Perot
- f** Lentila pozitiva ce formeaza imaginea de difractie; $f=150\text{ cm}$
- g** filtru colorat (rosu) in montura
- h** Ocular cu rigla gradata

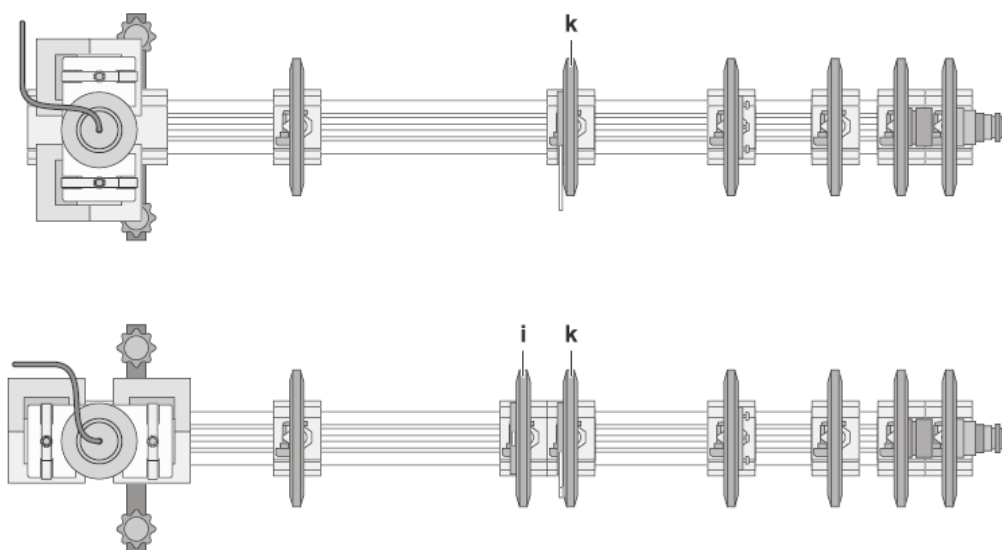


Fig.6 Dispozitivul experimental in configuratie transversala (sus) si longitudinala (jos); vedere de sus

- i** Lama sfert de unda
- j** Polarizor

6) Modul de lucru

- a) Observatii in configuratie transversala:
- Intai se vor observa franjele circulare de interferenta fara camp magnetic ($I=0 \text{ A}$)
 - Se creste incet curentul prin magnet pana la $I=3 \text{ A}$ cand franjele despicate sunt bine separate.
- Pentru a distinge intre componente π si σ .
- Introduceti polarizorul in drumul razei de lumina (Fig.6) si aduceti-l la 90° pana cand cele doua componente extreme ale structurii de triplet dispar.
 - Fixati polarizorul la 0° pana cand componenta (nedeplasata) din mijloc dispare.

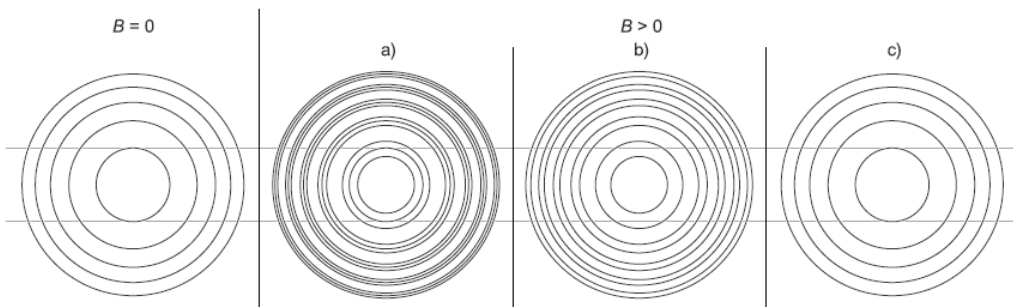


Fig.7 Figura de interferenta cu franje circulare asociata efectului Zeeman observat in configuratie transversala

- a)
- a) fara polarizor
 - b) directia polarizarii perpendiculara pe cea a campului magnetic
 - c) directia polarizarii paralela cu campul magnetic
- b) Observatii in configuratie longitudinala:
- Rotiti cu 90° , pe platforma calaretului, intregul dispozitiv al lampii de cadmiu impreuna cu piesele polare.
 - Observati intai figura de interferenta in absenta campului magnetic ($I=0$).

- Se creste incet curentul prin magnet pana la $I=3\text{ A}$ cand franjele despicate sunt bine separate.

Pentru a distinge intre componentelete σ_+ si σ_- :

- Introduceti lama sfert de unda in drumul razei de lumina intre lampa de cadmiu si polarizor (vezi Fig.6) si fixati-o la 0° .
- Aduceti polarizorul la $+45^\circ$ si la -45° . In fiecare caz una dintre cele doua componente ale dubletului dispare.

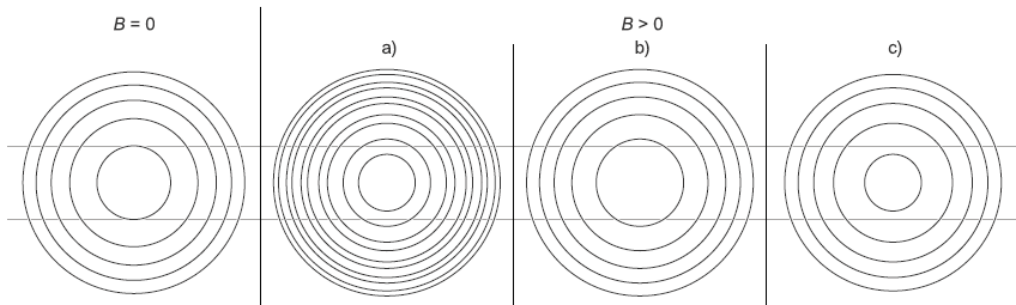


Fig.8 Figura de interferenta cu franje circulare asociata efectului Zeeman observat in configuratie longitudinala

- a) fara lama sfert de unda
- b) si c) cu lama sfert de unda si polarizor pentru a detecta lumina circular polarizata